

噻吩并四氢吡啶衍生物的合成及其抗血小板聚集活性研究

周云松^{1,2}, 王平保², 刘颖², 陈继方³, 岳南², 刘登科^{2*}

(1. 天津医科大学研究生院, 天津 300070; 2. 天津药物研究院, 天津 300193;
3. 天津工业大学环境与化学工程学院, 天津 300160)

摘要: 为了寻找新型的 ADP 受体拮抗剂类抗血栓药物, 合成了 18 个未见文献报道的噻吩并四氢吡啶衍生物, 化合物结构经 ¹H NMR 和 MS 确证。大鼠体内抗血小板聚集活性研究表明, 化合物 C1 的活性优于阳性对照药噻氯匹定, 值得进一步深入研究; 化合物 A4、B2、C4 和 C7 均有不同程度的抑制血小板聚集的活性。

关键词: 噻吩并四氢吡啶衍生物; 合成; ADP 受体拮抗剂; 抗血小板聚集

中图分类号: R916 文献标识码: A 文章编号: 0513-4870 (2011) 01-0070-05

Synthesis of thienopyridine derivatives and its anti-platelet activity *in vivo*

ZHOU Yun-song^{1,2}, WANG Ping-bao², LIU Ying², CHEN Ji-fang³, YUE Nan², LIU Deng-ke^{2*}

(1. Graduate School, Tianjin Medical University, Tianjin 300070, China; 2. Tianjin Institute of Pharmaceutical Research, Tianjin 300193, China; 3. School of Environmental and Chemical Engineering, Tianjin Polytechnic University, Tianjin 300160, China)

Abstract: To explore novel ADP receptor inhibitors with anti-thrombotic activity, eighteen compounds were synthesized and their structures were confirmed by ¹H NMR and MS. The results showed that the activity of compound C1 was superior to ticlopidine in platelet aggregation inhibition tests *in vivo* and worthy for further investigation. Compounds A4, B2, C4 and C7 possessed moderate platelet aggregation inhibitory activities.

Key words: thienopyridine derivative; synthesis; ADP receptor inhibitor; anti-platelet aggregation

血栓是由不同的病因和发病机制造成的血液异常凝固, 其发病率逐年增高, 严重危害人们的健康。ADP 是第一个被发现可以促进血小板聚集的活性物质, 其与 P2Y₁₂ 受体结合后导致血小板活化, 活化的血小板之间容易相互聚集进而引发血栓^[1]。ADP 受体拮抗剂包括可逆性抑制剂如替卡格雷、坎格雷洛^[2]和不可逆性抑制剂, 如噻吩并四氢吡啶类药物氯吡格雷、普拉格雷。氯吡格雷是前体药物, 经细胞色素 P450 酶系代谢, 生成的活性代谢物与 P2Y₁₂ 不可逆结合, 从而阻止血小板活化。普拉格雷于 2009 年 3 月获得 FDA 批准^[3], 用于预防急性冠脉综合征, 虽然表现出较好的血栓抑制活性, 却有致命的出血性风

险。因此, 寻找高效低副作用的抗血栓药物是一个很有意义的课题。

通过对已上市的和文献报道的噻吩并四氢吡啶类化合物的结构分析, 保留噻吩并四氢吡啶母核, 通过生物电子等排及药物代谢原理设计了 3 类 18 个新型的噻吩并四氢吡啶衍生物, 并考察了它们对大鼠血小板聚集的抑制活性。

参照文献[4]的方法, 以噻吩并四氢吡啶的盐酸盐为原料, 合成了 18 个噻吩并四氢吡啶衍生物。目标化合物的合成见合成路线 1。

结果与讨论

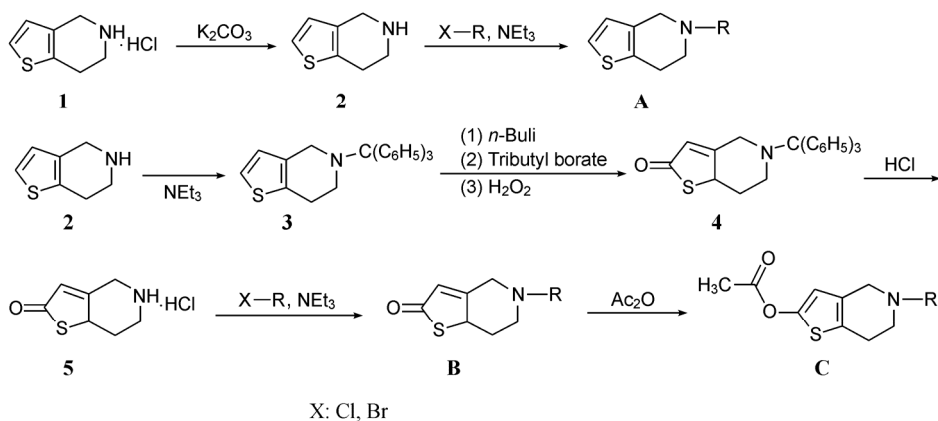
1 实验结果

目标化合物的理化常数、波谱数据和活性数据依次见表 1~5。

收稿日期: 2010-09-13.

基金项目: 国家“重大新药创制”科技重大专项 (2009ZX09103-078); 天津市科技计划项目 (09ZCKFSH01300).

*通讯作者 Tel / Fax: 86-22-23006856, E-mail: Liudk@tjipr.com



Scheme 1 Synthetic route of compounds A, B and C

Table 1 Structures, physical properties and mp of target compound A

| Compd. | R | Character | mp/°C |
|--------|---|-------------|---------------|
| A1 | | White solid | 66.5 – 68.2 |
| A2 | | White solid | 184.2 – 186.0 |
| A3 | | White solid | 244.0 – 246.7 |
| A4 | | White solid | 83.2 – 85.5 |
| A5 | | White solid | 113.6 – 115.8 |
| A6 | | White solid | 204.3 – 205.8 |

Table 2 Structures, physical properties and mp of target compound B

| Compd. | R | Character | mp/°C |
|--------|---|--------------|---------------|
| B1 | | White solid | 158.1 – 160.2 |
| B2 | | White solid | 170.5 – 173.1 |
| B3 | | White solid | 159.8 – 161.2 |
| B4 | | Yellow solid | 165.0 – 165.9 |
| B5 | | Yellow solid | 209.0 – 210.6 |

2 讨论

2.1 成盐时溶剂的选择 化合物本身即游离碱若为油状物, 遇光不稳定, 成盐后为固体, 具有良好的稳

Table 3 Structures, physical properties and mp of target compound C

| Compd. | R | Character | mp/°C |
|--------|---|--------------|---------------|
| C1 | | White solid | 92.3 – 93.9 |
| C2 | | White solid | 101.2 – 103.5 |
| C3 | | White solid | 184.2 – 185.9 |
| C4 | | White solid | 170.3 – 173.2 |
| C5 | | White solid | 190.5 – 192.4 |
| C6 | | Yellow solid | 209.0 – 210.0 |
| C7 | | White solid | 150.8 – 152.7 |

定性。成盐时选用乙醇或者丙酮等极性大的溶剂, 滴加盐酸乙醇溶液后得到的产物发粘, 质量较差, 用乙醚作为溶剂并且滴加盐酸乙醚, 可以得到纯度高、松散的白色固体。

2.2 生物活性结果分析 从初步的实验结果可以看出, C组化合物的活性明显优于A、B组化合物。当N取代邻近位置有含孤对电子的基团时(C1, C4, C7), 有利于抗血小板凝聚的活性。其中化合物C1的活性较强, 其构效关系值得进一步的研究。噻吩并四氢吡啶类药物的活性代谢物是噻吩环开环^[5], 2位氧化或者乙酰化, 其活性没有表现出明显的构效关系, 但是2位氧乙酰化后稳定性大大提高。B系列化合物的稳定性很差, 前后结果差别很大。整个系列

Table 4 Spectral data of target compounds

| Compd. | ¹ H NMR (400 MHz, DMSO- <i>d</i> ₆) | MS (<i>m/z</i>) |
|-----------|--|--|
| A1 | 2.87–2.93 (m, 4H), 3.62 (s, 2H), 3.93 (s, 2H), 6.69–6.71 (d, 1H, <i>J</i> = 4.8 Hz), 7.07–7.08 (d, 1H, <i>J</i> = 5.2 Hz), 7.35–7.39 (t, 1H, <i>J</i> = 7.6 Hz), 7.57–7.59 (m, 1H), 7.54–7.67 (m, 2H) | 254.0, 116.0, 89.0, 42.0 |
| A2 | 3.07–3.10 (m, 2H), 3.36–3.64 (m, 2H), 4.23 (s, 2H), 4.60 (s, 2H), 6.88–6.90 (d, 1H, <i>J</i> = 5.2 Hz), 7.44–7.45 (d, 1H, <i>J</i> = 4.8 Hz), 7.66–7.70 (t, 1H, <i>J</i> = 11.2 Hz), 7.80–7.83 (m, 2H), 8.39 (s, 1H) | 297.1, 159.1, 110.0, 36.0 |
| A3 | 3.17–3.20 (t, 2H, <i>J</i> = 11.2 Hz), 3.59–3.62 (t, 2H, <i>J</i> = 11.2 Hz), 4.35 (s, 2H), 4.70 (s, 2H), 6.87–6.88 (d, 1H, <i>J</i> = 11.2 Hz), 7.43–7.44 (d, 1H, <i>J</i> = 11.2 Hz), 7.64–7.67 (m, 1H), 8.02–8.04 (d, 1H, <i>J</i> = 8.0 Hz), 8.11–8.15 (m, 1H), 8.75–8.76 (t, 1H, <i>J</i> = 4.8 Hz) | 231.0, 138.0, 110.0, 65.0, 36.0 |
| A4 | 2.74–2.76 (t, 2H, <i>J</i> = 9.6 Hz), 2.78–2.80 (t, 2H, <i>J</i> = 8.0 Hz), 3.47 (s, 2H), 3.72 (s, 2H), 6.55–6.56 (d, 1H, <i>J</i> = 4.0 Hz), 6.74–6.76 (d, 1H, <i>J</i> = 5.2 Hz), 7.23–7.24 (d, 1H, <i>J</i> = 5.2 Hz), 7.79–7.80 (d, 1H, <i>J</i> = 4.8 Hz), 7.89–7.96 (m, 2H), 8.40–8.41 (d, 1H, <i>J</i> = 5.6 Hz), 8.59–8.60 (d, 1H, <i>J</i> = 6.4 Hz) | 296.1, 158.1, 110.0, 42.0 |
| A5 | 2.90–2.92 (d, 4H, <i>J</i> = 8.0 Hz), 3.68 (s, 2H), 4.06 (s, 2H), 6.69–6.70 (d, 1H, <i>J</i> = 4.8 Hz), 7.07–7.08 (d, 1H, <i>J</i> = 4.8 Hz), 7.50–7.54 (m, 1H), 7.69–7.73 (m, 2H), 7.80–7.82 (d, 1H, <i>J</i> = 8.4 Hz), 8.08–8.14 (m, 2H) | 143.0, 109.9, 43.0 |
| A6 | 2.15 (s, 3H), 3.08–3.12 (d, 1H, <i>J</i> = 16.0 Hz), 3.25–3.28 (d, 1H, <i>J</i> = 12.0 Hz), 3.41 (s, 1H), 3.70 (s, 1H), 3.85 (s, 3H), 4.27–4.31 (d, 2H, <i>J</i> = 16.0 Hz), 4.50–4.53 (d, 2H, <i>J</i> = 12.0 Hz), 6.41 (s, 1H), 6.92–6.93 (d, 1H, <i>J</i> = 5.2 Hz), 7.44–7.46 (d, 1H, <i>J</i> = 5.2 Hz) | 246.0, 204.0, 138.0, 110.0, 66.0, 42.0 |
| B1 | 2.03–2.14 (m, 1H), 2.49–2.57 (m, 1H), 3.45–3.65 (m, 1H), 3.58 (s, 1H), 4.13–4.20 (t, 1H, <i>J</i> = 28.0 Hz), 4.43 (s, 1H), 4.57 (s, 2H), 6.47 (s, 1H), 7.54–7.59 (m, 1H), 7.85–7.86 (d, 1H, <i>J</i> = 5.2 Hz), 8.00–8.06 (m, 1H), 8.21–8.28 (m, 1H) | 313.0, 253.0, 159.0, 109.0, 36.0 |
| B2 | 2.05–2.08 (m, 1H), 2.59–2.61 (d, 1H, <i>J</i> = 8.8 Hz), 3.44–3.66 (m, 2H), 3.81–4.15 (m, 2H), 4.70–4.71 (d, 2H, <i>J</i> = 4.0 Hz), 6.48 (s, 1H), 7.44–7.51 (m, 2H), 7.58–7.60 (d, 1H, <i>J</i> = 8.0 Hz), 7.99–7.93 (m, 1H) | 279.0, 219.1, 168.1, 125.0, 97.0, 36.0 |
| B3 | 2.07–2.11 (m, 1H), 2.58–2.62 (m, 1H), 3.40–3.47 (m, 1H), 3.54–3.58 (d, 1H, <i>J</i> = 16.0 Hz), 4.13–4.20 (t, 1H, <i>J</i> = 28.0 Hz), 4.43–4.47 (d, 1H, <i>J</i> = 16.0 Hz), 4.52–4.60 (m, 1H), 4.72–4.76 (m, 1H), 6.47 (s, 1H), 7.54–7.59 (m, 1H), 7.83–7.86 (t, 1H, <i>J</i> = 12.0 Hz), 7.99–8.06 (m, 1H), 8.69–8.72 (m, 1H) | 154.0, 93.0, 36.0 |
| B4 | 2.12–2.16 (m, 1H), 2.61–2.66 (m, 1H), 3.54–3.57 (t, 1H), 3.66–3.70 (d, 1H, <i>J</i> = 13.2 Hz), 4.57–4.60 (d, 1H, <i>J</i> = 12.0 Hz), 4.72–4.74 (d, 1H, <i>J</i> = 8.0 Hz), 4.75–4.79 (m, 2H), 6.51 (s, 1H), 7.68–7.72 (t, 1H, <i>J</i> = 11.8 Hz), 7.84–7.88 (t, 2H, <i>J</i> = 16.0 Hz), 8.06–8.08 (d, 1H, <i>J</i> = 8.0 Hz), 8.11–8.13 (d, 1H, <i>J</i> = 8.0 Hz), 8.54–8.56 (d, 1H, <i>J</i> = 8.0 Hz) | 297.0, 169.1, 143.0, 65.0, 36.0 |
| B5 | 2.07–2.09 (d, 1H, <i>J</i> = 8.0 Hz), 2.60 (s, 1H), 3.00–3.04 (m, 4H), 3.40–3.68 (m, 6H), 4.20–4.27 (m, 2H), 4.46–4.48 (m, 2H), 4.76–4.80 (m, 1H), 6.57 (s, 1H), 7.13–7.17 (m, 1H), 7.31–7.34 (m, 2H) | 425.0, 272.0, 200.0, 168.0, 97.0, 42.0 |
| C1 | 2.25 (s, 3H), 2.70 (s, 2H), 2.78 (s, 2H), 3.40 (s, 2H), 3.81 (s, 2H), 6.42 (s, 1H), 7.45–7.49 (t, 1H, <i>J</i> = 14.8 Hz), 7.60–7.62 (d, 1H, <i>J</i> = 8.0 Hz), 7.66–7.69 (t, 1H, <i>J</i> = 14.8 Hz), 7.80–7.82 (d, 1H, <i>J</i> = 7.6 Hz) | 312.0, 270.0, 145.0, 126.0, 89.0, 43.0 |
| C2 | 2.27 (s, 3H), 2.81–2.83 (t, 4H, <i>J</i> = 8.0 Hz), 3.50 (s, 2H), 3.86 (s, 2H), 6.30 (s, 1H), 7.32–7.36 (m, 1H), 7.51–7.54 (m, 1H), 7.63–7.65 (d, 1H, <i>J</i> = 8.0 Hz), 7.87–7.88 (d, 1H, <i>J</i> = 7.6 Hz) | 471.0, 355.0, 313.1, 253.1, 159.0, 126.0, 43.0 |
| C3 | 2.78 (s, 3H), 2.98–3.18 (t, 2H, <i>J</i> = 11.6 Hz), 3.58–3.61 (t, 2H, <i>J</i> = 11.6 Hz), 4.25 (s, 2H), 4.62 (s, 2H), 6.56 (s, 1H), 7.44–7.50 (m, 1H), 7.98–7.98 (d, 1H, <i>J</i> = 4.0 Hz), 8.00–8.02 (m, 1H), 8.69–8.70 (d, 1H, <i>J</i> = 4.4 Hz) | 289.1, 245.1, 196.0, 154.0, 93.1, 65.1, 43.0 |
| C4 | 2.28 (s, 3H), 2.98–3.02 (d, 1H, <i>J</i> = 15.6 Hz), 3.17–3.18 (d, 1H, <i>J</i> = 6.8 Hz), 3.52 (s, 1H), 3.67 (s, 1H), 4.18 (s, 2H), 4.85 (s, 2H), 6.59 (s, 1H), 7.44–7.51 (m, 2H), 7.57–7.59 (d, 1H, <i>J</i> = 7.6 Hz), 8.02–8.04 (d, 1H, <i>J</i> = 6.4 Hz) | 321.0, 279.0, 246.0, 154.0, 126.0, 43.0 |
| C5 | 2.15 (s, 3H), 2.28 (s, 3H), 2.96–3.00 (d, 1H, <i>J</i> = 16.0 Hz), 3.18–3.19 (d, 1H, <i>J</i> = 5.6 Hz), 3.40–3.43 (t, 1H, <i>J</i> = 13.6 Hz), 3.68 (s, 1H), 3.86 (s, 3H), 4.15 (s, 2H), 4.50–4.52 (d, 2H, <i>J</i> = 7.2 Hz), 6.44 (s, 1H), 6.60 (s, 1H) | 263.0, 196.0, 138.1, 109.0, 65.0, 36.0 |
| C6 | 2.28 (s, 3H), 3.13–3.14 (t, 2H, <i>J</i> = 8.0 Hz), 3.69–3.71 (t, 2H, <i>J</i> = 8.0 Hz), 4.35 (s, 2H), 4.82 (s, 2H), 6.58 (s, 1H), 7.67–7.71 (t, 1H, <i>J</i> = 15.2 Hz), 7.83–7.87 (t, 1H, <i>J</i> = 15.6 Hz), 7.91–7.93 (d, 1H, <i>J</i> = 8.4 Hz), 8.06–8.10 (t, 2H, <i>J</i> = 19.2 Hz), 8.53–8.55 (d, 1H, <i>J</i> = 8.4 Hz) | 196.1, 143.1, 115.1, 36.0 |
| C7 | 2.26 (s, 3H), 2.70–2.71 (d, 2H, <i>J</i> = 4.8 Hz), 2.77–2.80 (t, 2H, <i>J</i> = 10.4 Hz), 2.94 (s, 4H), 3.39 (s, 2H), 3.46 (s, 2H), 3.62 (s, 2H), 3.70 (s, 2H), 6.44 (s, 1H), 7.10–7.13 (m, 1H), 7.29–7.31 (t, 2H, <i>J</i> = 6.0 Hz) | 466.9, 196.0, 168.0, 126.0, 43.0 |

Table 5 Anti-platelet activity of target compounds. *n* = 10, $\bar{x} \pm s$. ***P* < 0.01 (ticlopidine, **A1**, **A4**, **B2**, **C1**, **C4**, **C7** vs control)

| Compd. | Maximum | Inhibition ratio/% | Compd. | Maximum | Inhibition ratio/% |
|-------------|---------------|--------------------|-----------|---------------|--------------------|
| Control | 65.3 ± 9.6 | – | B3 | 68.5 ± 8.5 | –4.9 |
| Ticlopidine | 26.8 ± 8.6** | 58.9 | B4 | 60.7 ± 9.9 | 7.0 |
| A1 | 47.8 ± 5.0** | 26.8 | B5 | 54.3 ± 8.8 | 16.8 |
| A2 | 52.1 ± 4.5 | 20.2 | C1 | 11.4 ± 7.7** | 82.5 |
| A3 | 58.6 ± 9.7 | 10.2 | C2 | 64.7 ± 9.8 | 0.9 |
| A4 | 34.6 ± 8.9** | 47.0 | C3 | 63.9 ± 9.0 | 2.1 |
| A5 | 69.9 ± 11.6 | –7.0 | C4 | 33.2 ± 11.0** | 49.2 |
| A6 | 41.7 ± 10.0 | 36.1 | C5 | 59.8 ± 9.0 | 8.4 |
| B1 | 44.6 ± 11.6 | 31.7 | C6 | 70.6 ± 9.6 | –8.1 |
| B2 | 34.2 ± 10.7** | 47.6 | C7 | 32.5 ± 9.1** | 50.2 |

化合物的 R 取代基的苄基位都是非手性的, 其活性也不及手性类的化合物^[6], 因此苄基位有可能是活性的关键位点。

实验部分

核磁共振仪是 BRUKER AV400, TMS 为内标; 质谱 VG ZAB-HS; YRT-3 熔点仪, 温度未校正; 所用的试剂均为分析纯。PAM-3 型双通道血小板聚集仪: 江苏省丹阳无线电厂产品。Wistar 大鼠: SPF 级, 雄性, 中国医学科学院实验动物研究所提供, 许可证号 SCXK(京)2005-0013。阳性对照药物噻氯匹定为自制品, 经结构确证, 纯度 99.7%。

1 化学合成

1.1 A 类化合物的合成 (以 A2 为例)

将 4, 5, 6, 7-四氢噻吩并[3, 2-c]吡啶的盐酸盐 (**1**, 17.5 g, 0.1 mol) 溶于 100 mL 蒸馏水, 冰浴冷却至 5 °C, 加入 14.0 g 碳酸钾, 搅拌 1 h 后, 用 50 mL 乙酸乙酯萃取两次, 合并乙酸乙酯相, 用无水硫酸钠干燥。减压除去溶剂, 得 4, 5, 6, 7-四氢噻吩并[3, 2-c]吡啶油状物 (**2**, 13.5 g, 0.097 mol)。

将 4, 5, 6, 7-四氢噻吩并[3, 2-c]吡啶 (**2**, 13.9 g, 0.1 mol) 溶于 60 mL 三氯甲烷及 *N*-甲基吗啉 (14.5 g, 0.1 mol) 混合液中, 加入邻三氟甲基溴苄 (24.0 g, 0.1 mol), 45 °C 反应 3 h 后, 用 50 mL 蒸馏水洗 3 次, 无水硫酸钠干燥, 蒸干。硅胶柱色谱分离, 得一浅黄色油状物。将上述油状物溶于 30 mL 乙醚, 滴加盐酸乙醚至 pH = 3, 过滤, 干燥, 得白色固体 **A2**, mp 184.2~186.0 °C, 收率 75%。

1.2 B 类化合物的合成

1.2.1 N-三苯甲基-4, 5, 6, 7-四氢噻吩并[3, 2-c]吡啶 (3) 的合成 4, 5, 6, 7-四氢噻吩并[3, 2-c]吡啶(**2**) (13.9 g, 0.1 mol), 溶于 60 mL 二氯甲烷中, 加入三乙胺 (11.0 g, 0.11 mol), 升温至 30 °C, 搅拌下滴加三苯基氯甲烷 (24 g, 0.11 mol) 的二氯甲烷 (50 mL) 溶液, 1 h 内滴完, 继续搅拌 3 h, TLC 检测反应完成。反应液倒入 100 mL 水中, 分离有机相, 无水硫酸镁干燥过夜。过滤, 滤液减压蒸除溶剂, 剩余物用 30 mL 冷乙醇洗涤, 得白色固体 **3** (37.5 g, 98.5%), mp 95.5~96 °C (文献^[7]: 收率 96%, mp 95 °C)。

1.2.2 2-氧代-N-三苯甲基-2, 4, 5, 6, 7, 7a-六氢噻吩并[3, 2-c]吡啶 (4) 的合成 将 **3** (38.0 g, 0.1 mol) 溶于经钠丝干燥的 THF (100 mL) 中, 搅拌下在 -5 °C 滴

加正丁基锂 (60 mL, 0.15 mol), -10 °C 搅拌 1 h, 滴加硼酸三丁酯 (40 mL, 0.15 mol) 和 THF (100 mL) 的混合物, 保温反应 1 h。冷却至 -15 °C, 滴加 30% 双氧水 (6.5 mL, 0.2 mol), 约 30 min 加完, 加毕后升温至 30 °C, 搅拌 5 h, 加入 15 mL 冷水, 用乙酸乙酯 (80 mL×3) 萃取, 合并有机相, 用水 (60 mL×3) 洗涤, 无水硫酸镁干燥过夜。过滤, 滤液减压蒸除溶剂, 剩余物用 30 mL 异丙醚重结晶, 得白色固体 **4** (32.0 g, 80%), mp 210.5~211 °C (文献^[7]: 收率 64%, mp 210 °C)。

1.2.3 2-氧代-2, 4, 5, 6, 7, 7a-六氢噻吩并[3, 2-c]吡啶盐酸盐 (5) 的合成 将 **4** (39.7 g, 0.1 mol) 溶于 110 mL 乙醇中, 加热到 55 °C, 加浓盐酸溶液调至 pH 3, 搅拌 1.5 h。减压蒸除溶剂, 剩余物中加入 100 mL 乙腈, 过滤, 得 **5** (18.7 g, 99%), mp 210~212 °C (文献^[8]: 收率 97%, mp 212 °C)。

1.2.4 5-取代-2-氧-2, 4, 5, 6, 7, 7a-六氢噻吩并[3, 2-c]吡啶 (以 B1 为例) 的合成 将 0.1 mol 化合物 **5** 加入反应瓶中, 加入 100 mL 三氯甲烷和 29.0 g *N*-甲基吗啉 (0.2 mol), 搅拌下加入三氟甲基溴苄 (53.0 g, 0.11 mol), 回流 4 h, 过滤, 滤液减压蒸除溶剂, 残余物用硅胶柱色谱分离, 得到无色油状物, 溶于乙醚, 加入盐酸乙醚溶液调节 pH = 5, 得化合物 **B1**, 产率 60%, mp 158.1~160.2 °C。

1.3 C 类化合物的合成 (以 C2 为例)

将 0.1 mol 化合物 **B1**, 用 150 mL 乙腈溶解, 加入 *N*-甲基吗啉 (14.5 g, 0.1 mol), 加入乙酸酐 10 g, 搅拌下 30 °C 反应 2 h, 减压蒸除溶剂, 加入 100 mL 三氯甲烷, 用饱和食盐水洗涤 (30 mL × 3), 硅胶柱色谱分离, 得到目标产物 **C2**, 产率 56%, mp 101.2~103.5 °C。

2 药理实验

健康雄性 Wistar 大鼠, 体重 200~250 g, 随机分组。设正常及噻氯匹定对照组, 灌胃给药, 剂量 30 mg·kg⁻¹。正常对照组给予等量的 0.5% CMC-Na。给药后 2 h 腹腔注射 40 mg·kg⁻¹ 戊巴比妥钠 (1 mL·kg⁻¹) 麻醉, 腹主动脉采血, 用 3.8% 枸橼酸钠抗凝, 分别制备富血小板血浆 (PRP) 和贫血小板血浆 (PPP), 用 PAM-3 型双通道血小板聚集仪测定 ADP (终浓度: 1.08 μmol·L⁻¹) 诱导的血小板最大聚集百分率 (maximum) 及抑制率 (inhibition ratio), 见表 5。

血小板聚集抑制率按下式计算:

血小板聚集抑制率 (%) = [1 - (给药管聚集百分率/对照管聚集百分率)] × 100%

References

- [1] Gachet C. Regulation of platelet functions by P2 receptors [J]. *Annu Rev Pharmacol Toxicol*, 2006, 46: 277-300.
- [2] Steinhubl SR, Oh JJ, Oestreich JH, et al. Transitioning patients from cangrelor to clopidogrel: pharmacodynamic evidence of a competitive effect [J]. *Thromb Res*, 2008, 121: 527-534.
- [3] Spinler SA, Rees C. Review of prasugrel for the secondary prevention of atherothrombosis [J]. *J Manag Care Pharm*, 2009, 15: 383-395.
- [4] Manne SR, Sajja E, Ghajala VR. Improved process for the preparation of prasugrel and its pharmaceutically acceptable salts: WO, 2009066326A2 [P]. 2009-05-28.
- [5] Collet JP, Montalescot G. P2Y12 inhibitors: thienopyridines and direct oral inhibitors [J]. *Hämostaseologie*, 2009, 29: 339-348.
- [6] Chen D. Design, Synthesis, Activity Evaluation of Thienopyridine Derivatives and Its Pharmacophore Model (噻吩并吡啶类衍生物的设计、合成、活性评价及其药效团模型) [D]. Tianjin: Tianjin University, 2009.
- [7] Alain B, Daniel F, Jean-Pierre M, et al. Derivatives of alpha-(2-oxo-2, 4, 5, 6, 7, 7a-hexahydrothieno[3, 2-c]-5-pyridyl) phenyl acetic acid, and their use as platelet and thrombotic aggregation inhibitors: US, 4740510 [P]. 1988-04-26.
- [8] Sun ZG, Hou J, Zou Q, et al. Synthesis of prasugrel [J]. *Chin J Pharm (中国医药工业杂志)*, 2009, 40: 244-246.

《药学报》系列网络英文刊将在 2011 年正式出版

《药学报》系列网络英文刊经过多年酝酿、近两年的准备 (见药学报网站 www.yxxb.com.cn 英文网刊) 近日与荷兰 Elseviers 出版公司达成合作出版协议, 拟于 2011 年正式出版。出版周期为双月刊。论文将在 Elseviers 期刊数据库 ScienceDirect 平台以 OA 方式刊出, 便于广大读者免费阅读和下载。

《药学报》系列网络英文刊是《药学报》中文刊的延伸, 集中报道国内外药学领域最新研究进展和成果, 其内容和形式与《药学报》中文刊一致。栏目包括综述、研究论文和研究快报, 专业涉及药理、药物化学、天然药物化学、药物分析、药剂及生药等药学学科。目前投稿方式和论文格式同《药学报》中文刊, 但不收审稿费、版面费, 也不支付稿费。

欢迎国内外药学研究工作者积极投稿。

《药学报》编辑部

2011 年 1 月